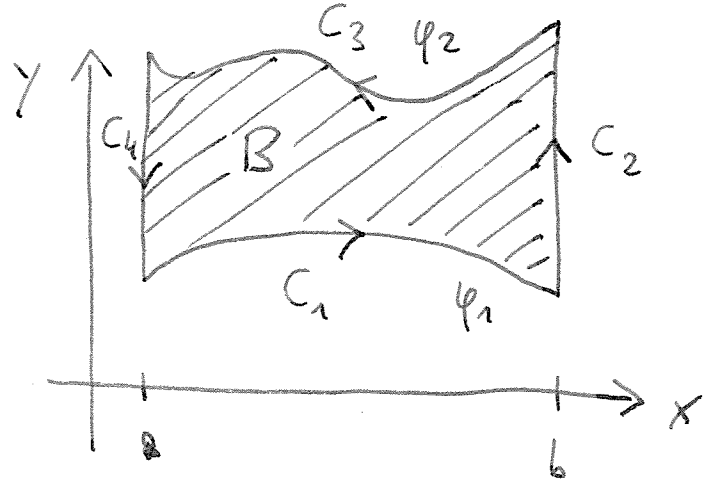


16.1. Integralsatz von Green-Green in der Ebene

- B sei C^1 -Normalbereich bzgl. x -Achse, d.h.

$B = \{(x, y) \mid a \leq x \leq b, \varphi_1(x) \leq y \leq \varphi_2(x)\}$, wobei

- $\varphi_1, \varphi_2: [a, b] \rightarrow \mathbb{R}$ stetig diffen, $\varphi_1 \leq \varphi_2$



Rand ∂B ist stückweise C^1 -Kurve $C := C_1 \oplus C_2 \oplus C_3 \oplus C_4$, z.B. C_1 gegeben durch $\gamma_1(t) = (\begin{smallmatrix} t \\ \varphi_1(t) \end{smallmatrix})$ ($t \in [a, b]$)

C_3 dargestellt durch $\ominus \gamma_3$, wobei $\gamma_3(t) = (\begin{smallmatrix} t \\ \varphi_2(t) \end{smallmatrix})$ ($t \in [a, b]$),

- B liegt beim Durchlaufen von $C = C_1 \oplus C_2 \oplus C_3 \oplus C_4$ immer auf der linken Seite ∂B heißt positiv orientiert

LEMMA: Sei $G \subseteq \mathbb{R}^2$ offen mit $B \subseteq G$ und $P: G \rightarrow \mathbb{R}$ sei stetig diffen, dann gilt

$$\int_B \partial_y P(x, y) d(x, y) = - \int_{\partial B} (P)$$

Beweis: $\int_B \partial_y P dx dy \stackrel{[NB]}{=} \int_a^b \int_{\varphi_1(x)}^{\varphi_2(x)} \partial_y P(x, y) dy dx =$

$$\stackrel{[HSOI]}{=} P(x, \varphi_2(x)) - P(x, \varphi_1(x))$$

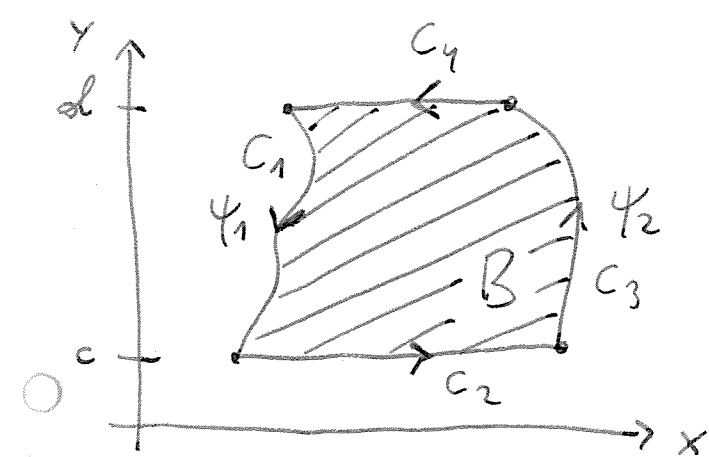
$$= \int_a^b P(x, \varphi_2(x)) dx - \int_a^b P(x, \varphi_1(x)) dx =$$

$$= \int_a^b \left\langle \begin{pmatrix} P(\varphi_3(x)) \\ 0 \end{pmatrix} \middle| \begin{pmatrix} 1 \\ \varphi_2'(x) \end{pmatrix} \right\rangle dx - \int_a^b \left\langle \begin{pmatrix} P(\varphi_1(x)) \\ 0 \end{pmatrix} \middle| \begin{pmatrix} 1 \\ \varphi_1'(x) \end{pmatrix} \right\rangle dx$$

$$= \int_{\varphi_3} \left(\begin{pmatrix} P \\ 0 \end{pmatrix} \right) - \int_{\varphi_1} \left(\begin{pmatrix} P \\ 0 \end{pmatrix} \right) = - \int_{C_3} \left(\begin{pmatrix} P \\ 0 \end{pmatrix} \right) - \int_{C_1} \left(\begin{pmatrix} P \\ 0 \end{pmatrix} \right)$$

○ Wektors sind $\dot{\varphi}_2$ und $\dot{\varphi}_4$ stets vertikal für Wege φ_2 und φ_4 , die C_2 bzw. C_4 darstellen, daher $\left\langle \left(\begin{pmatrix} P \\ 0 \end{pmatrix} \right) \middle| \dot{\varphi}_2 \right\rangle = 0 = \left\langle \left(\begin{pmatrix} P \\ 0 \end{pmatrix} \right) \middle| \dot{\varphi}_4 \right\rangle$, also muss $\int_{C_4} \left(\begin{pmatrix} P \\ 0 \end{pmatrix} \right) = 0 = \int_{C_2} \left(\begin{pmatrix} P \\ 0 \end{pmatrix} \right)$ gelten. Somit insgesamt

$$-\int_C \left(\begin{pmatrix} P \\ 0 \end{pmatrix} \right) = -\int_{C_1} \left(\begin{pmatrix} P \\ 0 \end{pmatrix} \right) - \int_{C_2} \left(\begin{pmatrix} P \\ 0 \end{pmatrix} \right) - \int_{C_3} \left(\begin{pmatrix} P \\ 0 \end{pmatrix} \right) - \int_{C_4} \left(\begin{pmatrix} P \\ 0 \end{pmatrix} \right) = \int_B \partial_y P dx dy \quad \square$$

- endgültig gilt: Wenn $B \subset \mathbb{C}^1\text{-NB}$ bzgl. y-Achse,
- d.h. $B = \{(x,y) \mid c \leq y \leq d, \psi_1(y) \leq x \leq \psi_2(y)\}$ mit $\psi_1 \leq \psi_2$.
 $\psi_1, \psi_2: [c, d] \rightarrow \mathbb{R}$ stetig diffbar, und Rand ∂B


positiv orientiert,

dann gilt

$$\int_B \partial_x Q dx dy = \int_{\partial B} (Q - \bar{Q})$$

(dies und kein Minus, weil Durchlauf in der y-Achse von entgegen C_1 und mit C_3)

- SATZ (von Green): Sei $B \subset \mathbb{C}^1\text{-NB}$ sowohl bzgl. x-Achse als auch bzgl. y-Achse, sei $G \subseteq \mathbb{R}^2$ offen, $B \subseteq G$ und $P, Q: G \rightarrow \mathbb{R}$ stetig diffbar. Dann gilt für die positiv orientierte Randkurve ∂B

$$\int_{\partial B} (P - \bar{Q}) = \int_B (\partial_x Q - \partial_y P) dx dy$$

- $\int_{\partial B} (P - \bar{Q})$ Kurvenintegral des Vektorfeldes (P, Q)
- $\int_B (\partial_x Q - \partial_y P) dx dy$ Doppelintegral über Normalbereich

Beweis: $\int \begin{pmatrix} P \\ Q \end{pmatrix} = \int \left(\begin{pmatrix} 0 \\ Q \end{pmatrix} + \begin{pmatrix} P \\ 0 \end{pmatrix} \right) = \int \begin{pmatrix} 0 \\ Q \end{pmatrix} + \int \begin{pmatrix} P \\ 0 \end{pmatrix} =$

$\circ \quad \partial B \quad \partial B \quad \partial B \quad \partial B$

$$= \int_B \partial_x Q \, d(x,y) - \int_B \partial_y P \, d(x,y) = \int_B (\partial_x Q - \partial_y P) \, d(x,y)$$

□

KoR: $B \in C^1$ -NB bzgl. x und y , ∂B positiv orientiert \Rightarrow

$\circ \quad |B| = \frac{1}{2} \int \begin{pmatrix} -y \\ x \end{pmatrix} \partial B$

Bew: $P(x,y) = -y$, $Q(x,y) = x$ im Satz ergibt

$$\int \begin{pmatrix} -y \\ x \end{pmatrix} \partial B = \int_B (\underbrace{\partial_x(x) - \partial_y(-y)}_{1 - (-1) = 2}) \, d(x,y) = 2 \cdot \int_B 1 \, d(x,y) = 2 \cdot |B|$$

□

BEISP: $B = [0,1] \times [1,3]$



$$\int \begin{pmatrix} x \\ x-y \end{pmatrix} \partial B = \int_B (\partial_x(x-y) - \partial_y(x-y)) \, d(x,y) =$$

$$= \int_B (1-x) \, d(x,y) = \int_1^3 \int_0^1 (1-x) \, dx \, dy = \int_1^3 -\frac{(1-x)^2}{2} \Big|_0^1 \, dy =$$

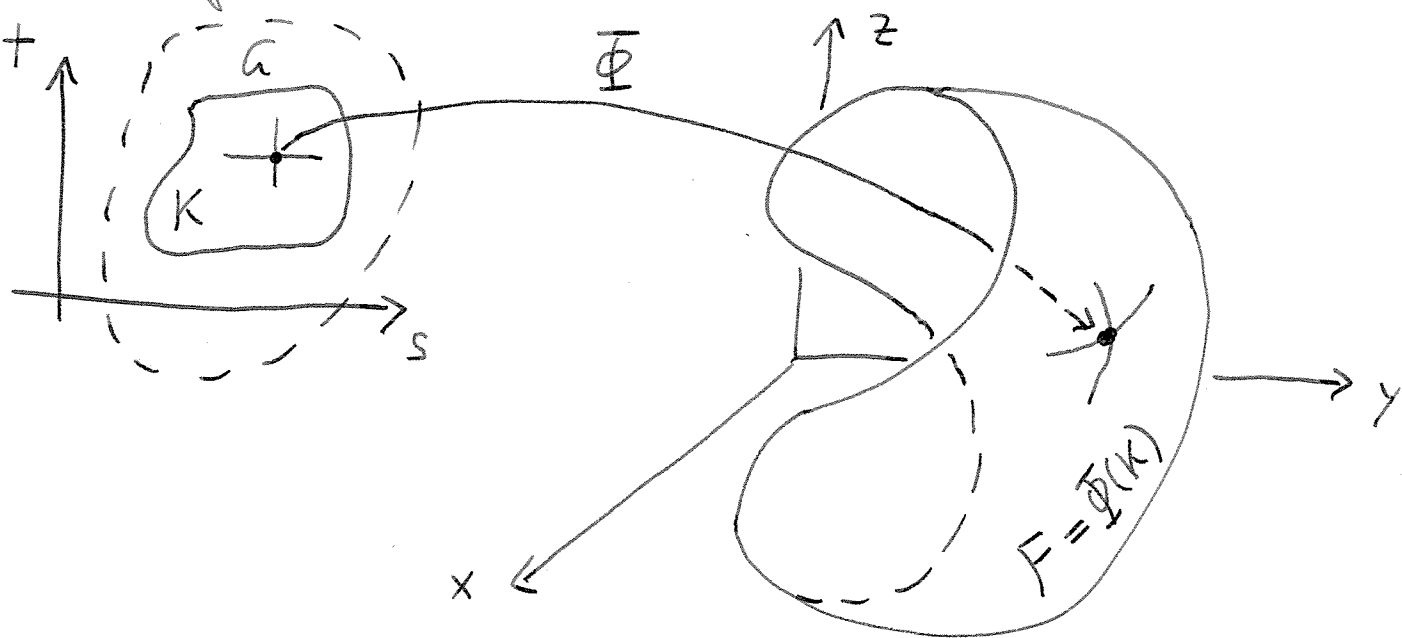
$$= \int_1^3 \frac{1}{2} \, dy = \frac{1}{2} \cdot (3-1) = 1$$

134

16.2. Flächenstücke im Raum

135

- DEF: Sei $K \subseteq \mathbb{R}^2$ kompakt und messbar, $G \subseteq \mathbb{R}^2$ offen mit $K \subseteq G$ und $\Phi: G \rightarrow \mathbb{R}^3$ injektiv und stetig diffbar. Dann heißt $F := \Phi(K)$ Flächenstück mit Parameterdarstellung Φ und Parameterbereich K .



- Sei $\Phi(s, t) = \begin{pmatrix} X(s, t) \\ Y(s, t) \\ Z(s, t) \end{pmatrix}$ und $\partial_s \Phi := \begin{pmatrix} \partial_s X \\ \partial_s Y \\ \partial_s Z \end{pmatrix}, \partial_t \Phi := \begin{pmatrix} \partial_t X \\ \partial_t Y \\ \partial_t Z \end{pmatrix}$

intuitiv: $\partial_s \Phi(s, t)$ und $\partial_t \Phi(s, t)$ sind Tangentialvektoren an F im Punkt $\Phi(s, t)$, weil Tangenten an die Kurven $s \mapsto \Phi(s, t)$ bzw. $t \mapsto \Phi(s, t)$;

- $\partial_s \Phi(s, t) \times \partial_t \Phi(s, t)$ steht daher senkrecht auf die Tangentialebene, also „normal auf F “ \rightsquigarrow

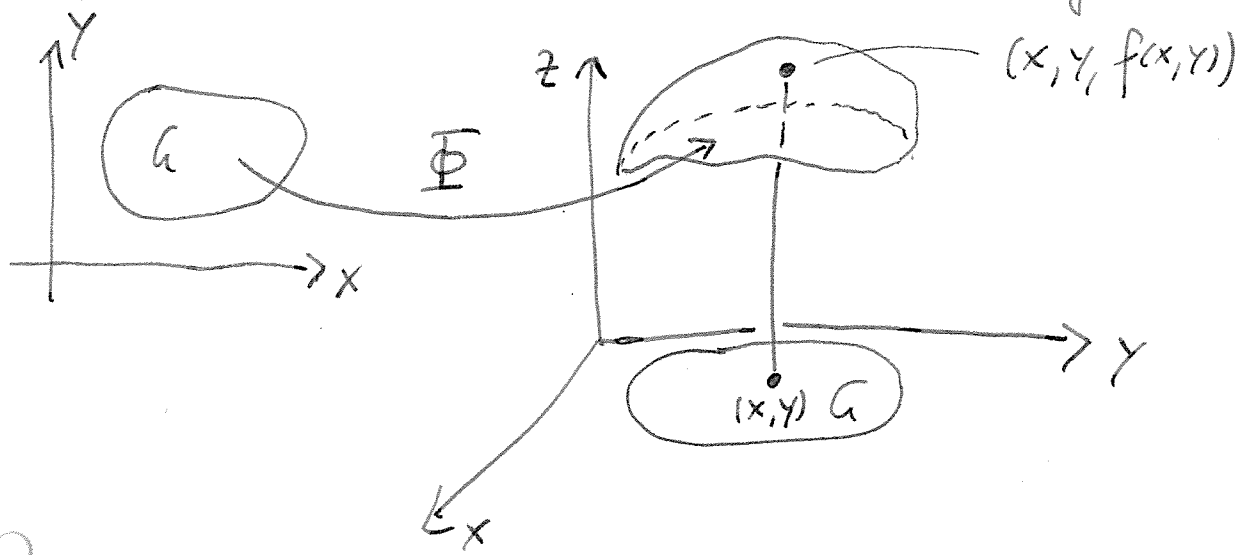
$$N(s,t) := \partial_s \Phi(s,t) \times \partial_t \Phi(s,t) \quad \text{heißt}$$

○ Normalenvektor im Punkt $\Phi(s,t)$

BEISP: 1) Funktionsgraph des Flächenstück:

sei $f: G \rightarrow \mathbb{R}$ stetig differenzierbar, $G \subseteq \mathbb{R}^2$ offen, $K \subseteq G$ kompakt
4. messbar

Setze $\Phi(x,y) := \begin{pmatrix} x \\ y \\ f(x,y) \end{pmatrix}$; Φ ist injektiv $G \rightarrow \mathbb{R}^3$
und stetig differenzierbar



○ Normalenvektor

$$N(x,y) = \partial_x \Phi(x,y) \times \partial_y \Phi(x,y) = \begin{pmatrix} 1 \\ 0 \\ \partial_x f(x,y) \end{pmatrix} \times \begin{pmatrix} 0 \\ 1 \\ \partial_y f(x,y) \end{pmatrix} = \begin{pmatrix} -\partial_x f \\ -\partial_y f \\ 1 \end{pmatrix}$$

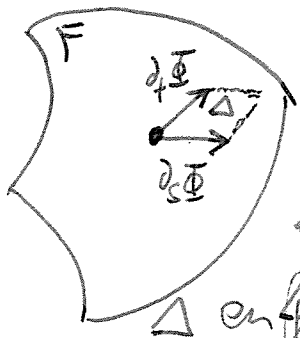
2) Kugelfläche vom Radius R um Ursprung:

$$\Phi(\varphi, \theta) = R \cdot \begin{pmatrix} \cos \varphi \cos \theta \\ \sin \varphi \cos \theta \\ \sin \theta \end{pmatrix} \quad \begin{array}{l} \text{[vgl. Kugelkoord., hier mit fixem Radius R]} \\ (\varphi, \theta) \in [0, 2\pi] \times [-\frac{\pi}{2}, \frac{\pi}{2}] \end{array}$$

direkte Rechnung $\Rightarrow N(\varphi, \theta) = R \cdot \cos \theta \cdot \Phi(\varphi, \theta)$

16.3. Oberfläche

- Heuristik:



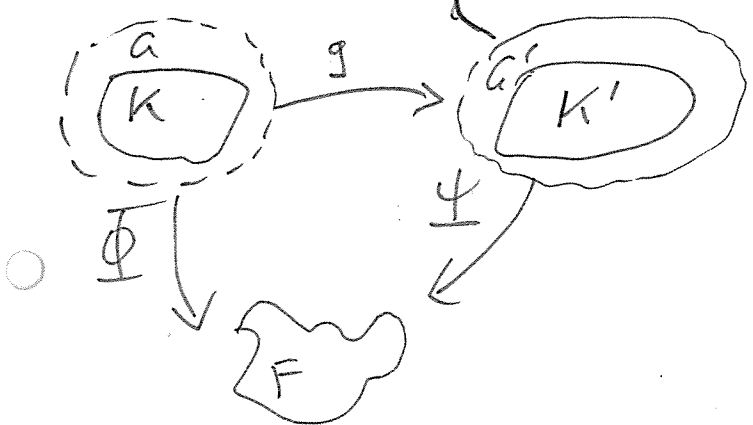
im Kleinen wird das Flächenelement ersetzt durch Parallelogrammfläche Δ aufgespannt von $\partial_s \Phi$ und $\partial_t \Phi$

$$\text{Fläche von } \Delta = \| \partial_s \Phi \times \partial_t \Phi \| = \| N(s, t) \| \Rightarrow$$

- DEF: F Flächenelement mit Parametrisierung Φ und Parameterbereich K , dann ist der Flächeninhalt bzw. die Oberfläche von F gegeben durch

$$\text{Fl}(F) := \int_K \| N(s, t) \| ds dt = \int_K \| \partial_s \Phi \times \partial_t \Phi \| ds dt$$

- BEM: es ist mittels Substitutionsregel relativ leicht zu sehen, dass obiger Wert für die Oberfläche sich bei zulässigem Wechsel der Parametrisierung nicht ändert (d.h. wenn $F = \Psi(K')$ und



g C^1 -Diff $G \rightarrow G'$ mit
 $\det \partial g(s, t) \neq 0 \forall s, t$

[vgl. Hennerk, § 208]

BEISP: 1) Kugeloberfläche: Radius R

○ Φ wie in 16.2, Beisp. 2): $\Phi(\varphi, \theta) = R \cdot \begin{pmatrix} \cos \varphi \cos \theta \\ \sin \varphi \cos \theta \\ \sin \theta \end{pmatrix}$

$S_R := \Phi([0, 2\pi] \times [-\frac{\pi}{2}, \frac{\pi}{2}])$ hat Oberfläche

$$\text{Fl}(S_R) = \underbrace{\int_{-\frac{\pi}{2}}^{\frac{\pi}{2}} \int_0^{2\pi} \|R \cos \theta \cdot \underbrace{\Phi(\varphi, \theta)}_{\text{hat Länge } = R, \cos \theta > 0}\| d\varphi d\theta =}$$

$$\begin{aligned} &= R \cdot \int_{-\frac{\pi}{2}}^{\frac{\pi}{2}} \int_0^{2\pi} \cos \theta \cdot \|\Phi(\varphi, \theta)\| d\varphi d\theta = R^2 \cdot \int_0^{2\pi} d\varphi \cdot \int_{-\frac{\pi}{2}}^{\frac{\pi}{2}} \cos \theta d\theta = \\ &= R^2 \cdot 2\pi \cdot \sin \theta \Big|_{-\frac{\pi}{2}}^{\frac{\pi}{2}} = R^2 \cdot 2\pi \cdot (1 - (-1)) = 4\pi R^2 \end{aligned}$$

2) F = Funktionsgraph: $\Phi(x, y) = \begin{pmatrix} x \\ y \\ f(x, y) \end{pmatrix}$ wie in 16.2, Beisp. 1

$$\text{Fl}(F) = \int \underbrace{\left\| \begin{pmatrix} -\partial_x f \\ -\partial_y f \\ 1 \end{pmatrix} \right\|}_{K} dx dy = \int \sqrt{1 + (\partial_x f)^2 + (\partial_y f)^2} dx dy$$

= 9.1.2012 =

16.4. Oberflächenintegrale

- Sei $F = \bar{\Phi}(K)$ ein Flächenstück im \mathbb{R}^3

- 1) skalares Feld: für $f: F \rightarrow \mathbb{R}$ stetig heißt

$$\int_F f d\sigma := \int_K f(\bar{\Phi}(s, t)) \cdot \underbrace{\|N(s, t)\|}_{\partial_s \bar{\Phi} \times \partial_t \bar{\Phi}} d(s, t)$$

- Oberflächenintegral von f über F

Spezialfall $f=1$ ergibt Oberfläche von $\mathcal{F} F(F)$

- 2) orientiertes Integral eines Vektorfeldes:

setze $n(s, t) := \begin{cases} \frac{N(s, t)}{\|N(s, t)\|} & \text{falls } N(s, t) \neq 0 \\ 0 & \text{falls } N(s, t) = 0 \end{cases}$

- Normaleinheitsvektor

sei $v: F \rightarrow \mathbb{R}^3$ stetiges Vektorfeld, dann heißt

$$\int_F \langle v | n \rangle d\sigma \quad \text{Oberflächenintegral von } v \text{ über } F$$

(manchmal auch $\int_F v d\vec{\sigma}$ geschrieben; $d\vec{\sigma} = n \cdot d\sigma$)

- Bem: die hier definierten Oberflächenintegrale ändern sich nicht unter eingeschränktem Parameterwechsel (wobei in 2) der Wechsel pos. Det. der Jacobi-Matrix lieben muss)

16.5. Integralsatz von Stokes

- Rotation eines Vektorfeldes $v = \begin{pmatrix} P \\ Q \\ R \end{pmatrix}: \mathbb{R}^3 \ni G \rightarrow \mathbb{R}^3$

$$\text{rot } v := \begin{pmatrix} \partial_y R - \partial_z Q \\ \partial_z P - \partial_x R \\ \partial_x Q - \partial_y P \end{pmatrix} = \begin{pmatrix} \partial_x \\ \partial_y \\ \partial_z \end{pmatrix} \times \begin{pmatrix} P \\ Q \\ R \end{pmatrix}'' \quad \text{wieder ein VF}$$

SATZ: Es gelte

- (a) $F = \overline{\Phi}(K)$ ist Flächenstück, wobei $\overline{\Phi}$ sogen C^2 ist und K ein C^1 -NB bzgl. beider Achsen im \mathbb{R}^2
- (b) Bild $\overline{\Phi}(\partial K)$ der pos. orientierten Randkurve ∂K sei durch stückweise stetig differenzierbaren Weg Π im \mathbb{R}^3 gegeben
- „Randkurve von F “
- (c) des VF v sei stetig differenzierbar auf einer Obermenge von F .

- Dann gilt

$$\boxed{\int\limits_F \langle \text{rot } v | n \rangle d\sigma = \int\limits_{\Gamma} v}$$



Oberflächenintegral
von $\text{rot } v$ über F ;
 n Normaleineheits-
vektor



Kurvenintegral über
Randkurve von F

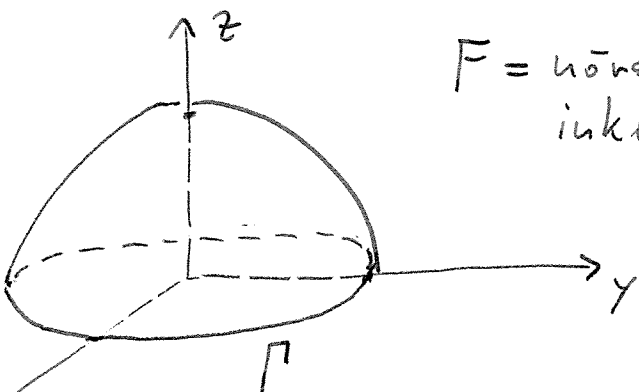
[Beweis → Hensel, Satz 209.1]

BEM: $\operatorname{rot} \mathbf{v} = \begin{pmatrix} 0 \\ 0 \\ 0 \end{pmatrix} \Leftrightarrow \mathbf{v}$ erfüllt die Integritätsbedingungen

d.h.: wenn $G \subseteq \mathbb{R}^3$ sternförmig und $\mathbf{v}: G \rightarrow \mathbb{R}^3 C^1$, dann gilt: \mathbf{v} besitzt Stromfunktion $\Leftrightarrow \operatorname{rot} \mathbf{v} = 0$

BEISP:

$$\bar{\Phi}(\varphi, \theta) = \begin{pmatrix} \cos \varphi \cos \theta \\ \sin \varphi \cos \theta \\ \sin \theta \end{pmatrix}$$



$F = \text{nördliche Hemisphäre inklusive Äquator}$
(Radius = 1)

$$K = [0, 2\pi] \times [0, \frac{\pi}{2}]$$

$$\text{Normalenvektor } N(\varphi, \theta) = \cos \theta \cdot \bar{\Phi}(\varphi, \theta)$$

$$\text{normiert: } n(\varphi, \theta) = \bar{\Phi}(\varphi, \theta)$$

Randkurve $P = \text{Einheitskreis in } xy\text{-Ebene,}$

$$\text{d.h. } P(t) = \begin{pmatrix} \cos t \\ \sin t \\ 0 \end{pmatrix} \quad (0 \leq t \leq 2\pi)$$

$$\text{Sei } \mathbf{v}: \mathbb{R}^3 \rightarrow \mathbb{R}^3, \quad \mathbf{v}(x, y, z) = \begin{pmatrix} 1 \\ xz \\ xy \end{pmatrix}$$

$$\text{es ist } \operatorname{rot} \mathbf{v} = \begin{pmatrix} \frac{\partial x}{\partial y} \\ \frac{\partial z}{\partial x} \\ \frac{\partial y}{\partial z} \end{pmatrix} \times \begin{pmatrix} 1 \\ xz \\ xy \end{pmatrix} = \begin{pmatrix} x - x \\ 0 - y \\ z - 0 \end{pmatrix} = \begin{pmatrix} 0 \\ -y \\ z \end{pmatrix}, \text{ somit}$$

$$\int_F \langle \operatorname{rot} \mathbf{v} | n \rangle d\sigma = \int_K \left\langle \begin{pmatrix} 0 \\ -\sin \varphi \cos \theta \\ \sin \theta \end{pmatrix} \middle| \begin{pmatrix} \cos \varphi \cos \theta \\ \sin \varphi \cos \theta \\ \sin \theta \end{pmatrix} \right\rangle \cdot \overbrace{\cos \theta}^{||N(\varphi, \theta)||} \cdot d(\varphi, \theta) =$$

$$= \int_0^{\frac{\pi}{2}} \int_0^{2\pi} (\sin^2 \theta - \sin^2 \varphi \cos^2 \theta) \cos \theta d\varphi d\theta = \dots \text{uffh! ?} \dots$$

mittleres Integralsatz von Stokes aber einfacher: 142

○ $\int_F \langle \operatorname{rot} v / u \rangle d\sigma = \int_{\Gamma} v = \int_0^{2\pi} \left\langle \begin{pmatrix} 1 \\ 0 \\ \cos t \sin t \end{pmatrix} \mid \begin{pmatrix} -\sin t \\ +\cos t \\ 0 \end{pmatrix} \right\rangle dt =$

$v(\Gamma(t)) \quad \vec{n}(t)$

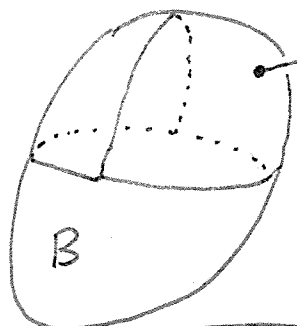
$= \int_0^{2\pi} \sin t dt = 0$

16.6. Integralsatz von Gauß [Bew. in Hause, §§210, 216, 217]

○ Divergenz eines Vektorfeldes $v = \begin{pmatrix} P \\ Q \\ R \end{pmatrix} : \mathbb{R}^3 \ni \xi \rightarrow \mathbb{R}^3$

$\operatorname{div} v := \partial_x P + \partial_y Q + \partial_z R = \left\langle \begin{pmatrix} \partial_x \\ \partial_y \\ \partial_z \end{pmatrix} \mid \begin{pmatrix} P \\ Q \\ R \end{pmatrix} \right\rangle$ "skalare Fkt"

SATZ: Sei $U \subseteq \mathbb{R}^3$ offen und $B = \overline{U}$ kompakt (und λ -messbar) mit Eig., dass der Rand ∂B sich als Vereinigung endlich vieler Flächenstücke mit nach außen weisendem Normaleinheitsvektor n darstellen lässt.



Für jedes stetig diffbare Vektorfeld v auf einer offenen Obermenge von B gilt
denn

○
$$\int_B \operatorname{div} v \, d(x, y, z) = \int_{\partial B} \langle v / n \rangle \, d\sigma$$

links: Volumenintegral
rechts: Oberflächenintegral über Randfläche

BEISP: $U = \{(x_1, y_1, z_1) \mid x_1^2 + y_1^2 + z_1^2 < 1\}$, somit

○ $B = \bar{U} = K_1(0)$... abgeschl. Einheitskugel im \mathbb{R}^3

$$\partial B = S^2 \text{ ... mit } \Phi(\varphi, \theta) = \begin{pmatrix} \cos \varphi \cos \theta \\ \sin \varphi \cos \theta \\ \sin \theta \end{pmatrix}, (\varphi, \theta) \in [0, 2\pi] \times [-\frac{\pi}{2}, \frac{\pi}{2}]$$

$n(\varphi, \theta) = \Phi(\varphi, \theta)$ äußerer Norm.einh.vektor



Sei $v(x_1, y_1, z_1) = \begin{pmatrix} x_1^3 \\ y_1^3 \\ z_1^3 \end{pmatrix}$, dann ist

$$\int \int \int_{S^2} \langle v/n \rangle d\sigma = \int_0^{2\pi} \int_{-\frac{\pi}{2}}^{\frac{\pi}{2}} (\cos^4 \varphi \cos^4 \theta + \sin^4 \cos^4 \theta + \sin^4 \theta) d\theta d\varphi =$$

... etwas unhandlich,

aber einfacher mit Hilfe des Satzes von fcaus:

$$\int \int \int_{S^2} \langle v/n \rangle d\sigma = \int \int \int_B \operatorname{div} v \, d(x_1, y_1, z_1) = [\operatorname{div} v = 3x_1^2 + 3y_1^2 + 3z_1^2]$$

$$= 3 \cdot \int_B (x_1^2 + y_1^2 + z_1^2) \, d(x_1, y_1, z_1) = 3 \cdot \int_0^1 \int_0^{2\pi} \int_{-\frac{\pi}{2}}^{\frac{\pi}{2}} r^2 \cdot r^2 \cdot \cos \theta \, d\theta \, d\varphi \, dr =$$

[Kugelkoord.]

$$= 3 \cdot 2\pi \cdot \int_{-\frac{\pi}{2}}^{\frac{\pi}{2}} \cos \theta \, d\theta \cdot \int_0^1 r^4 \, dr = 6\pi \cdot 2 \cdot \frac{1}{5} = \frac{12}{5}\pi$$

$$= 10,12012 =$$

○ BEM: die Integralsätze von Green, Stokes und fcaus können bei geeigneter Interpretation als Varianten des HSDI für höhere Dimensionen umgefasst werden. [vgl. Henssler §217]